

1	2	3	4	5	Σ	Оценка

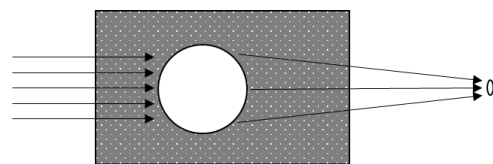
Фамилия И.О.	№ группы

ГОСУДАРСТВЕННЫЙ ЭКЗАМЕН ПО ФИЗИКЕ

письменная часть 18 января 2020 года

Вариант А

- 1А.** Нобелевская премия по физике за 2019 г. присуждена за открытие несветящихся спутников (экзопланет) у звёзд. Экзопланеты могут быть обнаружены с помощью доплеровского смещения спектра излучения звезды за счёт движения вокруг общего центра масс. Оценить, могут ли экзопланетные физики обнаружить наличие у Солнца спутника (планеты Юпитер), если они используют спектрометр с разрешающей способностью $R = 4 \cdot 10^7$? Период обращения Юпитера $T_{\text{Ю}} = 11,9$ года, масса $M_{\text{Ю}} = 1,8 \cdot 10^{30}$ г. Масса Солнца $M_{\text{С}} = 2 \cdot 10^{33}$ г. Считать, что наблюдение ведётся в плоскости движения системы Солнце–Юпитер.
- 2А.** Сосуд постоянного объема разделён подвижной теплоизолирующей перегородкой на две части, в каждой из которых содержится по одному молю идеального одноатомного газа. В начальный момент температуры газа в объёмах частей равны T_0 и αT_0 , где $\alpha = 7$, а перегородка находится в механическом равновесии. Найти максимальную работу, которую можно получить от того или иного внешнего устройства, использующего данный сосуд как единственный источник энергии.
- 3А.** В одном из экспериментов, нацеленных на создание управляемого термоядерного синтеза, ток $I_0 = 2$ МА пропускается по находящейся в вакууме полой тонкостенной цилиндрической оболочке радиуса $R_0 = 1$ см вдоль её образующей. В результате оболочка начинает сжиматься симметрично к оси системы. Найти изменение кинетической энергии оболочки на единицу её длины к моменту, когда она сожмётся до $R_1 = 10^{-2} R_0$. Толщину оболочки δ считать малой на протяжении всего процесса: $\delta \ll R_1$.
- 4А.** В практических задачах рентгеновской оптики было предложено использовать собирающие линзы в виде сферических полостей внутри металлических блоков. Оценить в приближении параксиальной оптики минимальный размер пятна d , в который можно сфокусировать плоскопараллельный пучок рентгеновского излучения с энергией кванта $E_{\gamma} = 14$ кэВ при помощи такой линзы, если радиус сферической полости, сделанной в алюминии, составляет $R = 0,3$ мм. Плотность алюминия $\rho = 2,7$ г/см³.



- 5А.** При β^- -распаде ядра ^{137}Cs разность энергий покоя материнского и дочернего ядер ΔE составила две энергии покоя электрона. Электрон и антинейтрино разлетелись под углом $\alpha = 120^\circ$. Дочернее ядро начало двигаться под углом $\varphi = 150^\circ$ к направлению вылета электрона. Найти энергию вылетевшего антинейтрино в единицах энергии покоя электрона. Считать антинейтрино безмассовой частицей.

1	2	3	4	5	Σ	Оценка

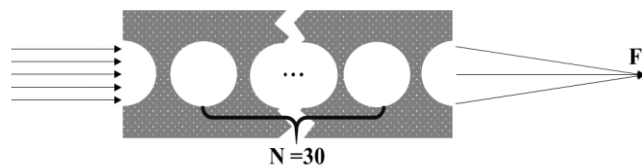
Фамилия И.О.	№ группы

ГОСУДАРСТВЕННЫЙ ЭКЗАМЕН ПО ФИЗИКЕ

письменная часть 18 января 2020 года

Вариант Б

- 1Б.** Экзопланетный физик, наблюдая Солнечную систему, заметил возникающее с периодом $T = 11,9$ лет кратковременное (длительностью около земных суток) уменьшение светимости Солнца на $\delta = 1\%$. Также он обнаружил происходящие с тем же периодом колебания доплеровского сдвига линии атомарного водорода в спектре Солнца с амплитудой $|\Delta\lambda/\lambda| \approx 4 \cdot 10^{-8}$, обусловленные движением Солнца вокруг центра масс системы. Оценить из этих данных массу и радиус этой планеты, если масса Солнца $M_C = 2 \cdot 10^{33}$ г, а его радиус $R_C = 7 \cdot 10^{10}$ см. Считать, что наблюдение ведётся в плоскости движения системы Солнце-планета.
- 2Б.** Сосуд объёма $V = 12$ л разделён теплоизолирующим подвижным поршнем на две части, в каждой из которых содержится по одному молу идеального газа. Исходному состоянию системы соответствует положение поршня, при котором объёмы частей сосуда равны, а давления в них составляют $P_1 = 4$ атм и $P_2 = 9$ атм. Найти максимальную работу, которую можно получить при переводе системы в равновесное состояние с применением того или иного внешнего устройства, использующего данный сосуд как единственный источник энергии. Показатель адиабаты считать равным $\gamma = 4/3$.
- 3Б.** В одном из экспериментов, нацеленных на создание управляемого термоядерного синтеза, ток $I_0 = 1$ МА пропускается по находящейся в вакууме тонкостенной цилиндрической плазменной оболочке вдоль её образующей. Начальный радиус оболочки $r_0 = 1$ см, толщина $\delta = 0,1$ мм, масса оболочки на единицу длины $m = 0,1$ мг/см. Протекание тока прекращается при сжатии до $r_1 \sim \delta$. Оценить температуру, до которой можно таким образом нагреть плазму, считая её квазинейтральной смесью идеальных газов протонов и электронов. Омическим нагревом пренебречь.
- 4Б.** В практических задачах рентгеновской оптики было предложено использовать собирающие линзы в виде сферических полостей внутри металлических блоков. Оценить в приближении параксиальной оптики эффективное фокусное расстояние системы таких линз, представляющую собой 30 вплотную расположенных сферических полостей с радиусом $R = 0,3$ мм. Энергия кванта составляет $E_\gamma = 14$ кэВ. Плотность алюминия $\rho = 2,7$ г/см³.



1	2	3	4	5	Σ	Оценка

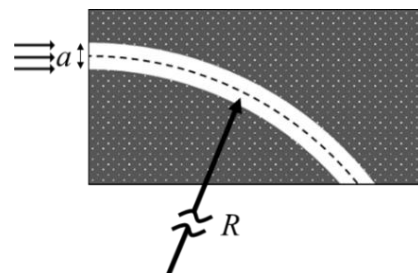
Фамилия И.О.	№ группы

ГОСУДАРСТВЕННЫЙ ЭКЗАМЕН ПО ФИЗИКЕ

письменная часть 18 января 2020 года

Вариант В

- 1В.** В 2016 г. у ближайшей к нам звезды красного карлика Проксима Центавра ($M_{\text{П}} = 0,12 M_{\text{С}}$, $R_{\text{П}} = 0,14 R_{\text{С}}$, $T_{\text{П}} = 3050 \text{ К}$) было обнаружено периодическое изменение доплеровского смещения линий излучения атомарного водорода, которое было интерпретировано как следствие движения её центра масс по круговой орбите со скоростью $v_{\text{П}} = 1,5 \text{ м/с}$ и с периодом $\tau_{\text{П}} = 11,2 \text{ сут.}$ Считая, что это движение обусловлено существованием у звезды спутника (планеты земного типа Проксима Центавра b), оценить его радиус орбиты (в астрономических единицах, а.е.), массу и температуру поверхности.
- 2В.** Сосуд постоянного объема разделён теплоизолирующим поршнем на две части, в каждой из которых содержится по одному молу идеального газа. В начальный момент объёмы частей сосуда различны, газ в меньшем объёме имеет температуру T_1 , а поршень находится в механическом равновесии. Найти максимальную работу, которую можно получить от тех или иных внешних устройств, использующих данный сосуд как единственный источник энергии. В конечном состоянии объём изначально меньшей части сосуда увеличился в $\beta=9$ раз. Принять теплоёмкость $C_V=5R/2$.
- 3В.** В одном из экспериментов, нацеленных на создание управляемого термоядерного синтеза, через оболочку из тонкой фольги в форме полого цилиндра радиусом $r_0 = 5 \text{ см}$ вдоль образующей пропускается линейно нарастающий во времени ток $I(t) = I_0 t / \tau$, где $I_0 = 3 \text{ МА}$, $\tau = 60 \text{ нс}$. В результате оболочка начинает сжиматься симметрично относительно оси системы. Оценить радиальную скорость v , приобретаемую оболочкой к моменту времени $t = \tau$. Масса фольги на единицу длины цилиндра $m = 0,1 \text{ мг/см}$.
Указание: перемещение оболочки за время τ можно считать малым: $v\tau \ll r_0$.
- 4В.** В практических задачах рентгеновской оптики было предложено использовать полости внутри металлических блоков в качестве «световодов». Пусть имеется цилиндрическая полость квадратного сечения: сторона квадрата $a = 0,3 \text{ мм}$, радиусы цилиндров $R + a/2$ и $R - a/2$, $R \gg a$. Оценить в приближении геометрической оптики минимальное значение R , при котором излучение с энергией кванта $E_{\gamma} = 14 \text{ кэВ}$, входящее в световод перпендикулярно его сечению, будет распространяться по нему без выхода за его пределы. Плотность алюминия $\rho = 2,7 \text{ г/см}^3$.



Решения письменной части ГКЭ 2020

Вариант А

1А. (Гуденко А.В.) Минимальная скорость, которую способен зарегистрировать по доплеровскому сдвигу спектрометр с такой разрешающей способностью:

$$V_{\min} = c(\Delta f/f) = c(\Delta\lambda/\lambda) = c/R = 7.5 \text{ м/с.}$$

Оценим скорость Солнца, совершающего круговое движение вокруг центра масс системы Солнце--Юпитер в приближении $M_{\text{Ю}} \ll M_{\text{С}}$. Используя третий закон Кеплера, находим орбитальную скорость Юпитера

$$V_{\text{Ю}} = 2\pi r_{\text{Ю}}/T_{\text{Ю}} = 2\pi[GM_{\text{С}}(T_{\text{Ю}})^2/4\pi^2]^{1/3}/T_{\text{Ю}} = 13 \text{ км/с.}$$

Следовательно, скорость движения Солнца вокруг центра масс системы Солнце--Юпитер:

$$V_{\text{С}} = V_{\text{Ю}}(M_{\text{Ю}}/M_{\text{С}}) = 12 \text{ м/с.}$$

Регулярное изменение скорости Солнца относительно экзопланеты имеет вид: $V(t) = V_{\text{С}}\sin(2\pi t/T_{\text{Ю}})$, т.е. амплитуда колебаний скорости составляет $V_{\text{С}} = 12 \text{ м/с} > V_{\min}$, что превышает предел чувствительности спектрометра. Таким образом, экзопланетные коллеги нобелевских лауреатов 2019 г. Майора и Кело вполне могут обнаружить Солнечную планетную систему.

2А. (Крымский К.М.) Максимальная работа достигается в условиях теплоизоляции от внешней среды и равна разности внутренних энергий системы в начальном и конечном состояниях: $A = U_1 - U_2 = C_V(T_0 + \alpha T_0) - 2C_V T$, где T – конечная температура системы.

Работа максимальна при обратимой передаче тепла, то есть $\Delta S_1 + \Delta S_2 = 0$. Для каждого

объёма изменение энтропии $\Delta S_1 = C_V \ln \frac{T}{T_0} + R \ln \frac{V}{V_1}$, $\Delta S_2 = C_V \ln \frac{T}{\alpha T_0} + R \ln \frac{V}{V_2}$, откуда для

всей системы $C_V \ln \frac{T^2}{\alpha T_0^2} + R \ln \frac{V^2}{V_1 V_2} = 0$, где $V = \frac{V_1 + V_2}{2}$ – конечный объём каждого газа

после выполнения всей работы системой, $V_1 = \frac{2V}{1+\alpha}$, а $V_2 = \alpha V_1$ в силу механического

равновесия в начальный момент.

Значит, $T^2 = \alpha T_0^2 \left(\frac{4\alpha}{(1+\alpha)^2} \right)^{\frac{R}{C_V}}$, а искомая работа равна $A = C_V T_0 \left(1 + \alpha - \frac{(4\alpha)^{\frac{C_V}{2C_V}}}{(1+\alpha)^{\frac{R}{C_V}}} \right)$.

Для одноатомного газа $A = \frac{3RT_0}{2} \left(1 + \alpha - \frac{2\sqrt[5]{4\alpha^6}}{(1+\alpha)^{\frac{2}{5}}} \right)$, что при $\alpha = 7$ практически точно даёт

$$A \approx 6RT_0.$$

ЗА. (Попов П.В.).

Первое решение. Выделим тонкий элемент вдоль образующей цилиндра с массой на единицу длины $dm = \rho \delta \cdot R d\varphi$. По нему протекает ток $dj = j_0 \frac{d\varphi}{2\pi}$. Уравнение движения элемента:

$$dm \cdot \ddot{R} = \frac{dj \cdot B(R)}{2c}.$$

Коэффициент 2 в знаменателе учитывает тот факт, что поле, действующее на элемент оболочки, составляет половину от полного поля. Подставляя магнитное поле на поверхности оболочки $B(R) = 2j_0/cR$ (внутри оболочки поля нет), и суммируя по всем элементам, получаем уравнение движения

$$m\ddot{R} = \frac{j_0^2}{c^2 R},$$

где $m = \rho \cdot 2\pi R \delta$.

Работа силы Ампера $f(R) = \frac{j_0^2}{c^2 R}$ по обжатию оболочки равна (знак минус учитывает, что $dR < 0$):

$$A = - \int_{R_0}^{R_1} f(R) dR = \frac{j_0^2}{c^2} \ln \frac{R_0}{R_1}.$$

Поскольку вначале оболочка покоилась, то работа силы переходит в конечную кинетическую энергию:

$$K = A = \frac{j_0^2}{c^2} \ln \frac{r_0}{r_1} = \frac{(2 \cdot 10^6 \cdot 3 \cdot 10^9)^2}{(3 \cdot 10^{10})^2} \ln 10^2 = 1,84 \cdot 10^{11} \text{ (эрг/см) или } 1,84 \text{ МДж/м.}$$

Второе решение. Выражение для силы Ампера можно получить также следующим образом. Выделим внутри оболочки цилиндрический слой $[r; r + dr]$. Пусть dj – протекающий в этом слое ток. Сила Ампера, действующая на него: $df = \frac{1}{c} dj \cdot B$, где $B(r) = \frac{2j(r)}{cr}$ – поле, создаваемое током $j(r) = \int_R^r dj$, охватываемым этим слоем (внешние токи вклада в поле не дают, собственное поле слоя на него

самого не действует). Интегрируя по всей толщ оболочке $r \in [R; R + \delta]$, приходим к тому же результату (в приближении $R \gg \delta$):

$$f = \int \frac{1}{c} B dJ \approx \frac{1}{c^2 R} \int_0^{J_0} 2J dJ \approx \frac{J_0^2}{c^2 R}.$$

4А. (Федоров Г.Е.). Для расчета фокусного расстояния линзы $F = R/2(n - 1)$ необходимо, прежде всего, рассчитать коэффициент преломления по формуле

$$n = \left(1 - \frac{\omega_p^2}{\omega^2}\right)^{1/2}. \quad (1)$$

Поскольку в алюминии ($A = 27$, $Z = 13$) энергия связи даже самых «близких к ядру» электронов не превышает $E = Z^2 R_y = 2,23$ кэВ, то в формулу для расчета плазменной частоты

$$\omega_p^2 = \frac{4\pi e^2 n_e}{m_e} \quad (2)$$

нужно подставить полную концентрацию электронов

$$n_e = \frac{Z\rho N_A}{\mu_{Al}} = \frac{13 \cdot 2,7 \cdot 6,02 \cdot 10^{23}}{27} = 7,8 \cdot 10^{23} \text{ см}^{-3}. \quad (3)$$

При такой концентрации плазменная частота составит $\omega_p = \left(\frac{4 \cdot 3,14 \cdot 4,8^2 \cdot 10^{-20} \cdot 7,8 \cdot 10^{23}}{9,1 \cdot 10^{-28}}\right)^{1/2} = 5,0 \cdot 10^{16} \text{ с}^{-1}$, что намного меньше частоты рентгеновского излучения $\omega = \frac{E_\gamma}{\hbar} = \frac{14 \cdot 10^3 \cdot 1,6 \cdot 10^{-12}}{1,05 \cdot 10^{-27}} = 2,1 \cdot 10^{19} \text{ с}^{-1}$. С учетом этого, выражение (1) можно переписать в виде

$$n = \left(1 - \frac{\omega_p^2}{\omega^2}\right)^{1/2} \approx 1 - \frac{\omega_p^2}{2\omega^2}. \quad (4)$$

Таким образом, воздух в полости является оптически более плотной средой для рентгеновского излучения, чем алюминий, и поэтому сферическая полость будет играть роль собирающей линзы в алюминии. Для фокусного расстояния получаем:

$$F = \frac{R}{2} \cdot \frac{2\omega^2}{\omega_p^2} = R \left(\frac{\omega}{\omega_p}\right)^2. \quad (5)$$

Угловая дифракционная расходимость $\varphi = \lambda/2R$, так что размер пятна равен в фокальной плоскости:

$$d = F \cdot \varphi = R \left(\frac{\omega}{\omega_p}\right)^2 \cdot \frac{\lambda}{2R} = \frac{\pi c \omega}{\omega_p^2} = \frac{3,14 \cdot 3 \cdot 10^8 \cdot 2,1 \cdot 10^{19}}{25 \cdot 10^{32}} \approx 8 \text{ нм}. \quad (6)$$

P.S. В реальности сферические абсрации приводят к тому, что такого разрешения можно добиться лишь при помощи 30 последовательно расположенных «линз». См. статью A. Snigirev, V. Kohn, I. Snigireva, B. Lengeler, "A compound refractive lens for focusing high-

energy X-rays" // Nature. 1996. V.384. № 6604. P.49. Отметим, что при заданном материале линзы размер пятна, в который можно сфокусировать излучение (в использованном приближении!): 1) не зависит от размеров «линзы», 2) обратно пропорционален длине волны используемого излучения.

5А. (Морозов А.И.)

Первое решение. Дочернее ядро движется в направлении, противоположном суммарному импульсу электрона и антинейтрино. Из равенства модулей составляющих их импульсов, перпендикулярных этому направлению, получаем $cp_e = ckp_\nu$, где $k^2 = \frac{\sin^2(\alpha + \varphi)}{\sin^2(\varphi)} = 4$. Из закона сохранения энергии находим, вводя обозначения

$$x = \frac{\varepsilon_\nu}{m_e c^2}, \quad a = \frac{\Delta E}{m_e c^2} = 2:$$

$$a = x + \sqrt{1 + k^2 x^2}, \quad \text{откуда} \quad x = \frac{a - \sqrt{k^2(a^2 - 1) + 1}}{1 - k^2} = 0,54.$$

Второе решение. Проектируя импульсы всех частиц на направление импульса электрона и перпендикулярное ему, получим

$$p_e = p_\nu \cos(180^\circ - \alpha) + p_{\text{яд}} \cos(180^\circ - \varphi),$$

$$p_\nu \sin(180^\circ - \alpha) = p_{\text{яд}} \sin(180^\circ - \varphi).$$

Из второго уравнения получаем $p_{\text{яд}} = \sqrt{3}p_\nu$, а из первого -- $p_e = 2p_\nu$. Поскольку $\Delta E = 2m_e c^2 \ll M_{\text{яд}} c^2$ (1 МэВ \ll 137 ГэВ), то кинетической энергией ядра по сравнению с энергиями легких частиц можно пренебречь и закон сохранения энергии примет вид

$$\Delta E = p_\nu c + \sqrt{(p_e c)^2 + (m_e c^2)^2}.$$

Подставляя сюда выражение для импульса электрона, получаем уравнение относительно $x = p_\nu c / (m_e c^2)$

$$\frac{\Delta E}{m_e c^2} = x + \sqrt{4x^2 + 1} \quad \text{или} \quad 2 - x = \sqrt{4x^2 + 1},$$

откуда

$$3x^2 + 4x - 3 = 0 \quad \text{и} \quad x = \frac{\sqrt{13} - 2}{3} \cong 0,54$$

P.S. Интересно, что при указанных в задаче углах, импульсы нейтрино и ядра оказываются взаимно перпендикулярными.

Вариант Б

1Б. (Глазков В.Н., Струминский А.Б.). Изменение светимости происходит из-за того, что «холодная» планета перекрывает для удаленного наблюдателя некоторую долю излучения

от Солнца. Поскольку светимость пропорциональна площади поверхности Солнца, то изменение светимости

$$\Delta L/L = \delta \cong R_{\text{пл}}^2/R_{\text{С}}^2, \quad (1)$$

откуда $R_{\text{пл}} = R_{\text{С}} \sqrt{\Delta L/L} = 0.1 R_{\text{С}}$.

Вклад в светимость различных участков Солнца даётся интегралом по сферическим кольцам на его поверхности $L = 2\pi R_{\text{С}}^2 \int_0^{\pi/2} \sin \theta d\theta I_0 \cos \theta = \pi R_{\text{С}}^2 I_0 \sin^2 \theta|_0^{\pi/2} = \pi R_{\text{С}}^2 I_0$. I_0 - яркость излучения перпендикулярно поверхности, при написании интеграла использован закон Ламберта. Если планета расположена в центре диска Солнца прямо напротив наблюдателя, то нижний предел в интеграле следует заменить на $R_{\text{пл}}/R_{\text{С}} \ll 1$. Откуда следует формула (1).

Поскольку Солнце и планета вращаются вокруг общего центра масс, то доплеровский сдвиг будет максимален, когда Солнце движется к наблюдателю и минимален, когда Солнце движется от наблюдателя. Следовательно, линейная скорость вращения Солнца находится из соотношения $V_{\text{С}} = c\Delta\lambda/\lambda = 1200$ см/с. Будем считать, что масса планеты много меньше массы Солнца и центр масс системы практически совпадает с центром Солнца. Тогда радиус орбиты планеты находится из третьего закона Кеплера

$$R_{\text{пл}}^3 = GM_{\text{С}}T^2/4\pi^2,$$

откуда $R_{\text{пл}} = 7,8 \cdot 10^{13}$ см = $7,8 \cdot 10^8$ км = 5,2 а.е., а линейная скорость движения планеты по орбите $V_{\text{пл}} = 2\pi R_{\text{пл}}/T = 13$ км/с. Из равенства импульсов планеты и Солнца, получаем $m_{\text{пл}} = M_{\text{С}}V_{\text{С}}/V_{\text{пл}} = 1,85 \cdot 10^{30}$ г. Полученные данные соответствуют Юпитеру.

2Б. (Крымский). Максимальная работа достигается в условиях теплоизоляции от внешней среды и равна разности внутренних энергий системы в начальном и конечном состояниях:

$$A = U_1 - U_2 = C_V \frac{P_1(V/2)}{R} + C_V \frac{P_2(V/2)}{R} - 2C_V \frac{P(V/2)}{R}, \text{ где } P - \text{конечное давление в системе}$$

и учтено, что после выполнения системой всей работы конечный объём каждой части $V_x = V/2$ в силу механического равновесия. Работа максимальна при обратимой передаче тепла, то есть $\Delta S_1 + \Delta S_2 = 0$, а так как для каждого объёма изменение энтропии

$$\Delta S_1 = C_V \ln \frac{P}{P_1}, \quad \Delta S_2 = C_V \ln \frac{P}{P_2}, \text{ то получаем } C_V \ln \frac{P}{P_1} + C_V \ln \frac{P}{P_2} = 0, \text{ откуда } P = \sqrt{P_1 P_2}.$$

$$\text{Окончательно } A = \frac{V}{2(\gamma-1)} (\sqrt{P_1} - \sqrt{P_2})^2 = 1800 \text{ Дж}.$$

3Б. (Попов П.В.). Согласно решению задачи 3А, работа по обжатию оболочки переходит в

$$\text{ее кинетическую энергию } K = \frac{J_0^2}{c^2} \ln \frac{r_0}{\delta}. \text{ После того, как вся энергия перейдет в тепло,}$$

получаем $K = 3\nu R\Delta T/2$, поскольку плазма — смесь одноатомных газов протонов и электронов. Здесь $\nu = \frac{2\pi}{\mu} \approx \frac{2\pi}{\mu_H}$ — количество молей на единицу длины оболочки, с учётом того, что масса электрона много меньше массы протона. Окончательно

$$\Delta T = \frac{J_0^2 \mu_H}{3mRc^2} \ln \frac{r_0}{\delta} = \frac{(10^6 \cdot 3 \cdot 10^9)^2 \cdot 1}{(3 \cdot 10^{10})^2 \cdot 3 \cdot 10^{-4} \cdot 8,31 \cdot 10^7} \ln 10^2 \approx 1,85 \cdot 10^6 \text{ К.}$$

4Б. (Федоров Г.Е.). По аналогии с решением задачи 4А

$$F_1 = R \left(\frac{\omega}{\omega_p} \right)^2 = 3 \cdot 10^{-4} \left(\frac{2,1 \cdot 10^{19}}{5,0 \cdot 10^{16}} \right)^2 \approx 53 \text{ м.}$$

Поскольку максимальный угол отклонения лучей очень мал, для составной линзы можно пользоваться параксиальным приближением, так что для ее фокусного расстояния получим

$$F_{30} = \frac{F_1}{30} \approx 1,8 \text{ м.}$$

5Б. (Морозов А.И.).

Первое решение. Дочернее ядро движется в направлении, противоположном суммарному импульсу электрона и антинейтрино. Из равенства модулей составляющих их импульсов, перпендикулярных этому направлению, получаем $cp_e = ckp_\nu$, где $k^2 = 1$. Из закона сохранения энергии находим, вводя обозначения $x = \frac{e_\nu}{m_e c^2}$, $a = \frac{\Delta E}{m_e c^2} = 2$:
 $a = x + \sqrt{1 + k^2 x^2}$,

Откуда

$$x = \frac{a^2 - 1}{2a} = \frac{3}{4}, \quad \frac{r_e}{m_e c^2} = a - x - 1 = 0,25.$$

Второе решение. Проектируя импульсы всех частиц на направление импульса ядра и перпендикулярное ему, получим

$$p_{\text{яд}} = p_\nu \cos \alpha + p_e \cos \alpha,$$

$$p_\nu \sin \alpha = p_{\text{яд}} \sin \alpha.$$

Из второго уравнения получаем $p_e = p_\nu$, а из первого $-p_{\text{яд}} = 2p_\nu \cos \alpha$. Поскольку $\Delta E = 2m_e c^2 \ll M_{\text{яд}} c^2$ (1 МэВ \ll 137 ГэВ), то кинетической энергией ядра по сравнению с энергиями легких частиц можно пренебречь и закон сохранения энергии примет вид

$$\Delta E = p_\nu c + \sqrt{(p_e c)^2 + (m_e c^2)^2}.$$

Подставляя сюда выражение для импульса электрона, получаем уравнение относительно $x = p_e c / (m_e c^2)$

$$\frac{\Delta E}{m_e c^2} = x + \sqrt{x^2 + 1} \quad \text{или} \quad 2 - x = \sqrt{x^2 + 1},$$

откуда $x = 3/4$. Относительная кинетическая энергия электрона

$$\frac{\tau}{m_e c^2} = \sqrt{\left(\frac{p_e c}{m_e c^2}\right)^2 + 1} - 1 = \sqrt{x^2 + 1} - 1 = \frac{1}{4}.$$

Вариант В

1В. (Струминский А.Б.). Для системы планета – звезда по третьему закону Кеплера $L_b^3 = GM_{\Pi} \tau_{\Pi}^2 / 4\pi^2$, откуда $L_b = (GM_{\Pi} \tau_{\Pi}^2 / 4\pi^2)^{1/3} = 7.2$ млн. км $= 4,8 \cdot 10^{-2}$ а.е. (1 а.е. = 150 млн. км – расстояние от Земли до Солнца и предполагается, что масса звезды намного больше массы планеты).

Радиусы орбит планеты и звезды связаны соотношением $L_{\Pi} M_{\Pi} = L_b M_b$, откуда

$$M_b = \frac{L_{\Pi} M_{\Pi}}{L_b} = \frac{\tau_{\Pi}^2 M_{\Pi}}{2\pi L_b} = 7.7 \cdot 10^{27} \text{ г} = 1.28 M_{\odot}.$$

Приравнявая величины падающей в единицу времени на поверхность планеты энергии и энергии ей излучаемой, получаем

$$4\pi R_{\Pi}^2 \sigma T_{\Pi}^4 \frac{\pi R_b^2}{4\pi L_b^2} = 4\pi R_b^2 \sigma T_b^4,$$

откуда

$$T_b = T_{\Pi} \left(\frac{R_{\Pi}}{2L_b} \right)^{1/2} = 3050 \left(\frac{0,14 \cdot 7,0 \cdot 10^5}{2 \cdot 4,8 \cdot 10^{-2} \cdot 150 \cdot 10^6} \right)^{1/2} = 251 \text{ К.}$$

2В. (Крымский К.М.). Максимальная работа достигается в условиях теплоизоляции от внешней среды и равна убыли внутренней энергии: $A = U_1 - U_2 = C_V (T_2 + T_1) - 2C_V T$, где T – конечная температура системы, а $T_2 = \alpha T_1$ – температуры газа в момент равенства давлений, считая, что $V_2 = \alpha V_1$. Работа максимальна при обратимой передаче тепла, то

есть $\Delta S_1 + \Delta S_2 = 0$. Для каждого объема изменение энтропии $\Delta S_1 = C_V \ln \frac{T}{T_1} + R \ln \frac{V}{V_1}$,

$\Delta S_2 = C_V \ln \frac{T}{T_2} + R \ln \frac{V}{V_2}$, откуда для всей системы $C_V \ln \frac{T^2}{\alpha T_1^2} + R \ln \frac{V^2}{\alpha V_1^2} = 0$, где

$V = \frac{V_1 + V_2}{2} = \frac{(\alpha + 1)V_1}{2} = \beta V_1$ – конечный объем каждого газа после выполнения всей работы

системой. Заменой $\alpha = 2\beta - 1$ получаем искомую работу в виде

$$A = C_V T_1 \left(2\beta - \frac{(8\beta - 4)^{\frac{C_V}{2C_V}}}{(2\beta)^{\frac{R}{C_V}}} \right) = \frac{5}{2} R T_1 \left(2\beta - \frac{(8\beta - 4)^{0,7}}{(2\beta)^{6,4}} \right), \text{ что при } \beta = 9 \text{ практически точно даёт}$$

$$A \approx 30 R T_1.$$

3В. (Попов П.В.) Согласно решению задачи А, уравнение движения оболочки под действием тока имеет вид

$$m\ddot{r} = m\dot{v} = \frac{J^2(t)}{c^2 r(t)} = \frac{J_0^2 t^2}{c^2 r(t) \tau^2}.$$

При условии $r(t) \cong r_0 = \text{const}$ это уравнение можно проинтегрировать

$$v = \int_0^{\tau} \frac{J_0^2 t^2}{mc^2 r_0 \tau^2} dt = \frac{1}{3} \frac{J_0^2 \tau}{mc^2 r_0}.$$

Подставляя числа, получаем

$$v = \frac{1}{3} \frac{(3 \cdot 10^6 \cdot 3 \cdot 10^9)^2 \cdot 6 \cdot 10^8}{(3 \cdot 10^0)^2 \cdot 10^{-4} \cdot 5} = 3,6 \cdot 10^6 \text{ см/с.}$$

Как видно, за время τ радиус оболочки изменится не более, чем на $\Delta r \sim v\tau = 0,22 \text{ см} \ll r_0 = 5 \text{ см}$ и предположение о неизменности радиуса трубки вполне оправдано.

4В. (Федоров Г.Е.). По аналогии с решением задачи 4А, находим выражение для величины показателя преломления

$$n = \left(1 - \frac{\omega_p^2}{\omega^2}\right)^{1/2} \approx 1 - \frac{\omega_p^2}{2\omega^2}.$$

Наименьший угол падения на цилиндрическую поверхность большего радиуса имеет луч, входящий в волновод по касательной к внутреннему цилиндру. Радиус кривизны должен быть таким, чтобы угол β падения для этого луча был не меньше угла полного внутреннего отражения ($\sin \beta \geq n$). Используя очевидное геометрическое соотношение

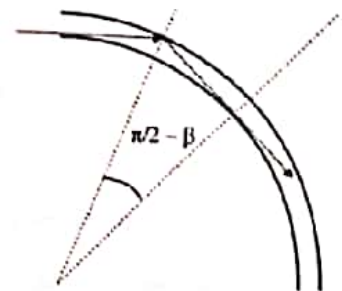
$$a = R(1 - \sin \beta),$$

окончательно получаем

$$R \geq a \frac{2\omega^2}{\omega_p^2} = 2 \cdot 3 \cdot 10^{-4} \cdot \left(\frac{2,1 \cdot 10^{19}}{5,0 \cdot 10^{16}}\right)^2 \approx 110 \text{ м.}$$

5В. (Морозов А.И.).

Первое решение. Дочернее ядро движется в направлении, противоположном суммарному импульсу электрона и антинейтрино. Из равенства модулей составляющих их импульсов, перпендикулярных этому направлению, получаем $sr_e = skr_\nu$, где



$k^2 = \frac{\sin^2(\varphi)}{\sin^2(\alpha+\varphi)} = \frac{1}{3}$. Из закона сохранения энергии находим, вводя обозначения $x = \frac{\varepsilon_\nu}{m_e c^2}$,

$$a = \frac{\Delta E}{m_e c^2} = 2:$$

$$a = x + \sqrt{1 + k^2 x^2}, \quad \text{откуда } x = \frac{a - \sqrt{k^2(a^2 - 1) + 1}}{1 - k^2} = 0,88.$$

Второе решение. Проектируя импульсы всех частиц на направление импульса антинейтрино и перпендикулярное ему, получим

$$p_\nu = p_e \cos(180^\circ - \alpha) + p_{\text{яд}} \cos(180^\circ - \varphi),$$

$$p_e \sin(180^\circ - \alpha) = p_{\text{яд}} \sin(180^\circ - \varphi).$$

Из второго уравнения получаем $p_{\text{яд}} = 2p_e$, а из первого -- $p_\nu = \sqrt{3}p_e$. Поскольку $\Delta E = 2m_e c^2 \ll M_{\text{яд}} c^2$ (1 МэВ \ll 137 ГэВ), то кинетической энергией ядра по сравнению с энергиями легких частиц можно пренебречь и закон сохранения энергии примет вид

$$\Delta E = p_\nu c + \sqrt{(p_e c)^2 + (m_e c^2)^2}.$$

Подставляя сюда выражение для импульса электрона, получаем уравнение относительно $x = p_\nu c / (m_e c^2)$

$$\frac{\Delta E}{m_e c^2} = x + \sqrt{x^2/3 + 1} \quad \text{или} \quad 2 - x = \sqrt{x^2/3 + 1},$$

$$2x^2 - 12x + 9 = 0 \quad \text{и} \quad x = 3 \left(1 \pm \frac{\sqrt{2}}{2}\right) \cong 5,12; 0,88$$

Первый корень – лишний, поскольку $\sqrt{x^2/3 + 1} \geq 1$ и, следовательно, $x \leq 1$.

Максимум за каждую задачу – 2 балла. Итоговая оценка по 10-балльной шкале – сумма всех баллов, округленная в большую сторону

Сбор преподавателей для обсуждения задач, результатов письменного экзамена и для организационных объявлений 22 января 2020 года в 8-30 в Главной Физической аудитории